

PONTIFICIA UNIVERSIDAD CATÓLICA DEL PERÚ

FACULTAD DE CIENCIAS E INGENIERÍA



PONTIFICIA
UNIVERSIDAD
CATÓLICA
DEL PERÚ

DISEÑO E IMPLEMENTACIÓN DE UN ALGORITMO PARA EL REGISTRO DE IMÁGENES AÉREAS ORTORECTIFICADAS APLICADO EN LA SUPERVISIÓN AGRÍCOLA

Tesis para optar el Título de **INGENIERO ELECTRÓNICO**, que presenta el bachiller:

Fernando Javier Meza Zurita

ASESOR: Andrés Flores Espinoza

Lima, noviembre de 2014

Índice

| | |
|---|----|
| Anexo 1: Mosaicos desarrollados a partir de las imágenes de prueba..... | 2 |
| 1.1 Cambios de desenfoque | 2 |
| 1.2 Cambios de escala y rotación..... | 8 |
| 1.3 Cambios de perspectiva..... | 14 |
| 1.4 Cambios de iluminación..... | 18 |
| Anexo 2: Resultado de banco de imágenes utilizando lenguaje C..... | 24 |
| 2.1 Cambios de desenfoque..... | 24 |
| 2.1 Cambios de escala y rotación..... | 24 |
| 2.3 Cambios de perspectiva..... | 25 |
| 2.4 Cambios de iluminación..... | 26 |
| Anexo 3: Programa desarrollado en Matlab..... | 27 |
| 3.1 Programa principal..... | 27 |
| 3.2 Correspondencia entre puntos de control..... | 32 |
| 3.3 Transformación de imágenes..... | 34 |
| 3.4 Corrección de imágenes. | 36 |
| Anexo 4: Programa desarrollado en lenguaje C..... | 40 |

Anexo 1: Mosaicos desarrollados a partir de las imágenes de prueba

1.1 Cambios de Desenfoque



Imagen 1



Imagen 2



Imagen 3



Imagen 4



Imagen 5



Imagen 6

Figura 1: Puntos de control seleccionados para el banco de imágenes con efectos de desenfoque. El efecto de desenfoque se va creciendo desde la imagen 2 a la imagen 6. En la imagen 6 se puede ver el peor efecto de desenfoque con el que se trabaja.



(a)



(b)

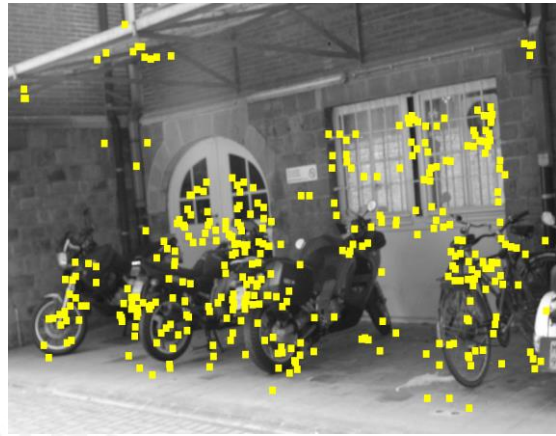


(c)

Figura 2: Mosaico generado a partir de imágenes 1 y 2. (a) Imagen 1 con puntos de correspondencia hallados. (b) Imagen 2 con puntos de correspondencia hallados. (c) Mosaico desarrollado.



(a)



(b)



(c)

Figura 3: Mosaico generado a partir de imágenes 1 y 3. (a) Imagen 1 con puntos de correspondencia hallados. (b) Imagen 3 con puntos de correspondencia hallados. (c) Mosaico desarrollado.



(a)



(b)



(c)

Figura 4: Mosaico generado a partir de imágenes 1 y 4. (a) Imagen 1 con puntos de correspondencia hallados. (b) Imagen 4 con puntos de correspondencia hallados. (c) Mosaico desarrollado.



(a)



(b)

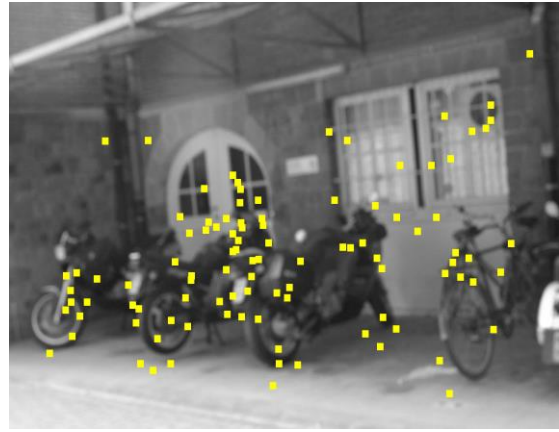


(c)

Figura 5: Mosaico generado a partir de imágenes 1 y 5. (a) Imagen 1 con puntos de correspondencia hallados. (b) Imagen 5 con puntos de correspondencia hallados. (c) Mosaico desarrollado.



(a)



(b)



(c)

Figura 6: Mosaico generado a partir de imágenes 1 y 6. (a) Imagen 1 con puntos de correspondencia hallados. (b) Imagen 6 con puntos de correspondencia hallados. (c) Mosaico desarrollado.

1.2 Cambios de escala y rotación

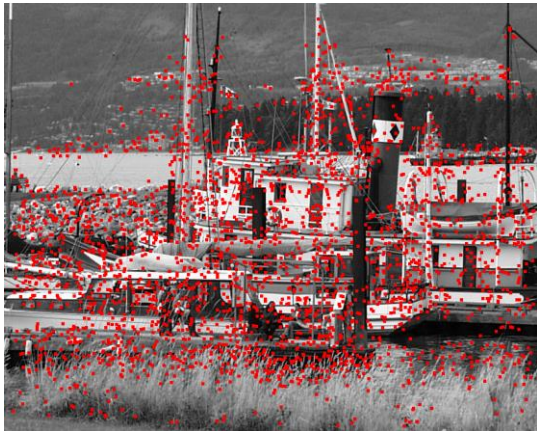


Imagen 1



Imagen 2



Imagen 3

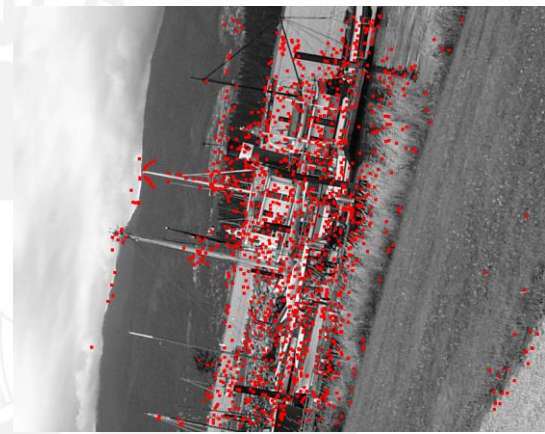


Imagen 4

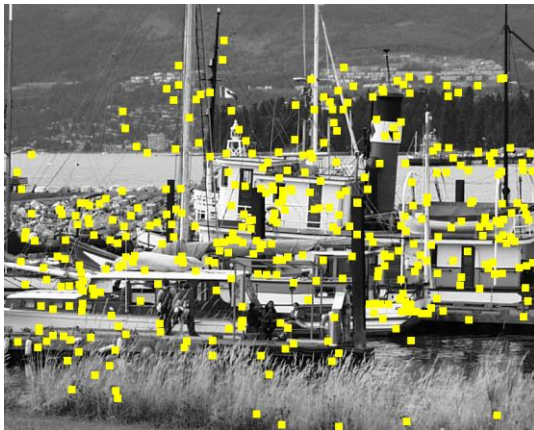


Imagen 5

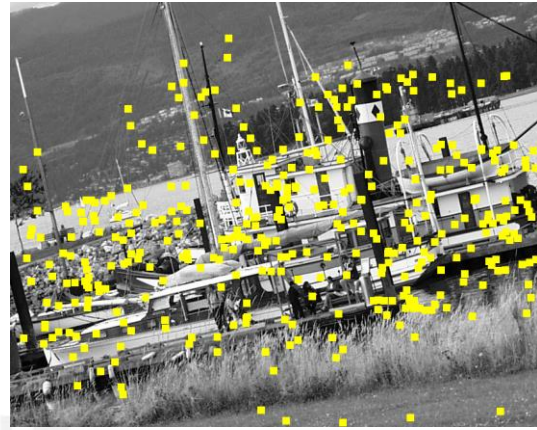


Imagen 6

Figura 7: Puntos de control seleccionados para el banco de imágenes con efectos de escala y rotación. El efecto de rotación y escala va creciendo desde la imagen 2 a la imagen 6. En la imagen 6 se puede ver el peor efecto de escala (doble) con el que se trabaja.



(a)



(b)

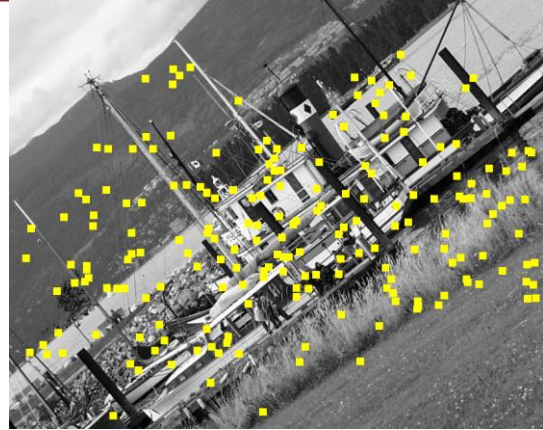


(c)

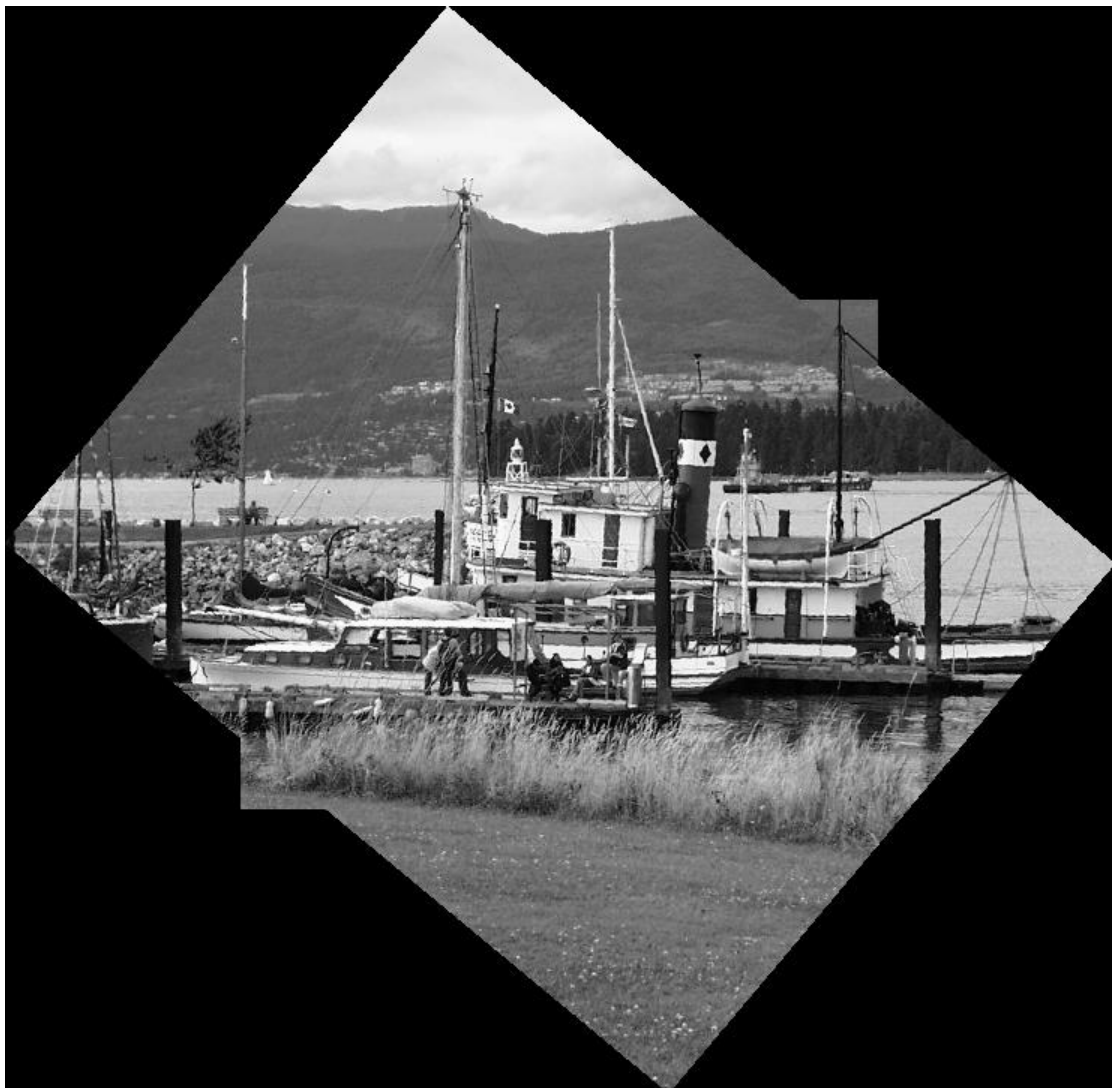
Figura 8: Mosaico generado a partir de imágenes 1 y 2. (a) Imagen 1 con puntos de correspondencia hallados. (b) Imagen 2 con puntos de correspondencia hallados. (c) Mosaico desarrollado.



(a)



(b)

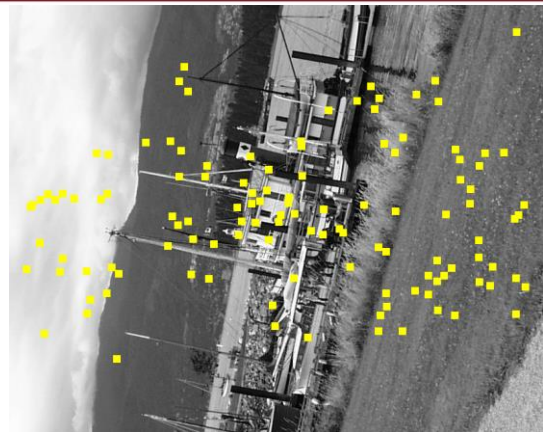


(c)

Figura 9: Mosaico generado a partir de imágenes 1 y 3. (a) Imagen 1 con puntos de correspondencia hallados. (b) Imagen 3 con puntos de correspondencia hallados. (c) Mosaico desarrollado.



(a)

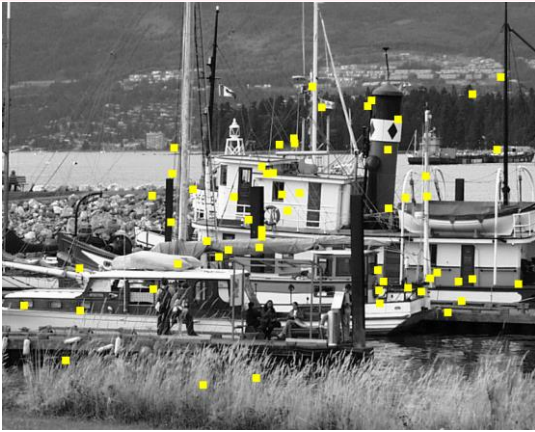


(b)



(c)

Figura 10: Mosaico generado a partir de imágenes 1 y 4. (a) Imagen 1 con puntos de correspondencia hallados. (b) Imagen 4 con puntos de correspondencia hallados. (c) Mosaico desarrollado.



(a)



(b)

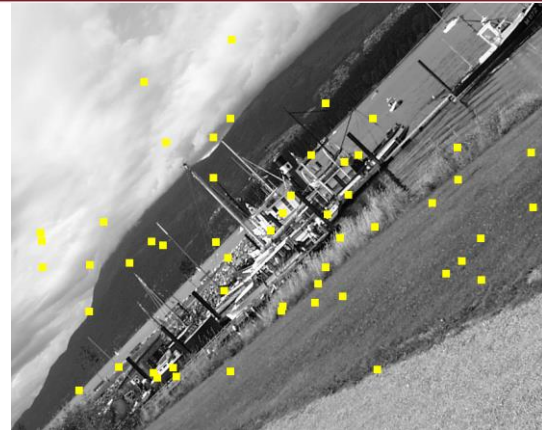


(c)

Figura 11: Mosaico generado a partir de imágenes 1 y 5. (a) Imagen 1 con puntos de correspondencia hallados. (b) Imagen 5 con puntos de correspondencia hallados. (c) Mosaico desarrollado.



(a)



(b)



(c)

Figura 12: Mosaico generado a partir de imágenes 1 y 6. (a) Imagen 1 con puntos de correspondencia hallados. (b) Imagen 6 con puntos de correspondencia hallados. (c) Mosaico desarrollado.

1.3 Cambios de perspectiva



Imagen 1

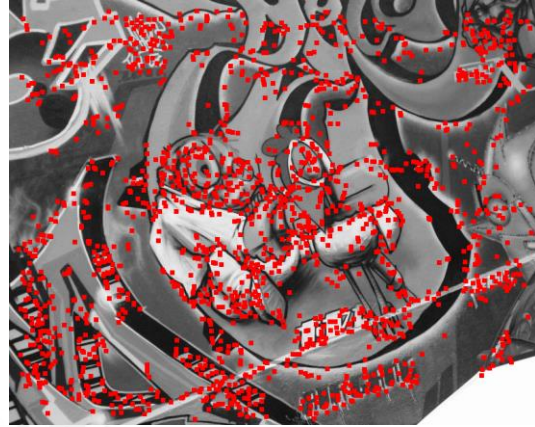


Imagen 2

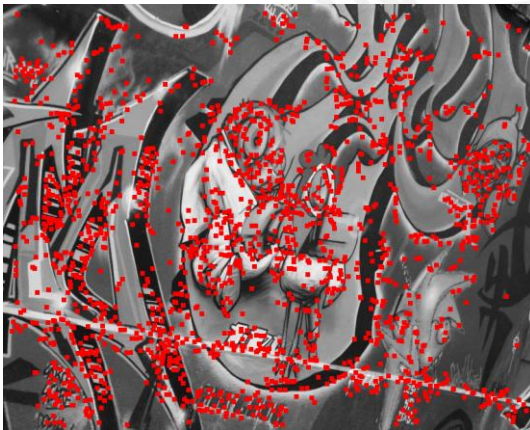


Imagen 3

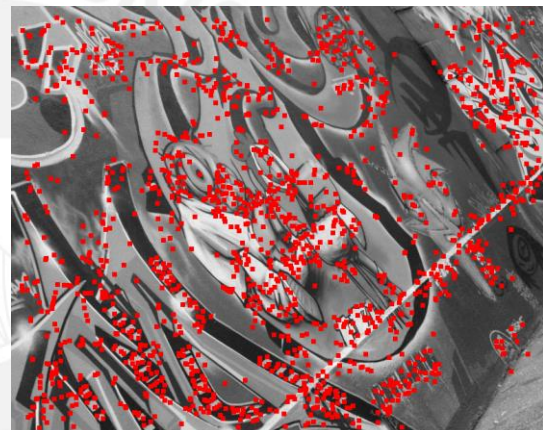


Imagen 4

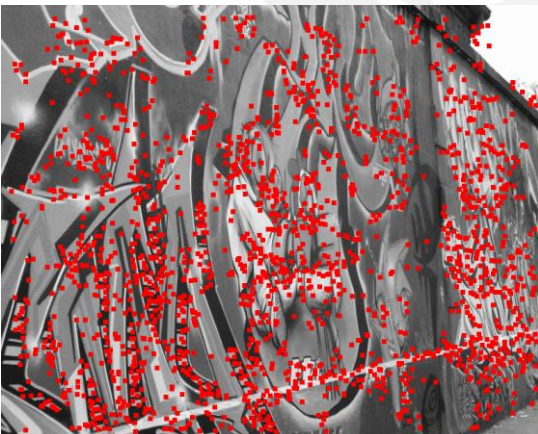


Imagen 5

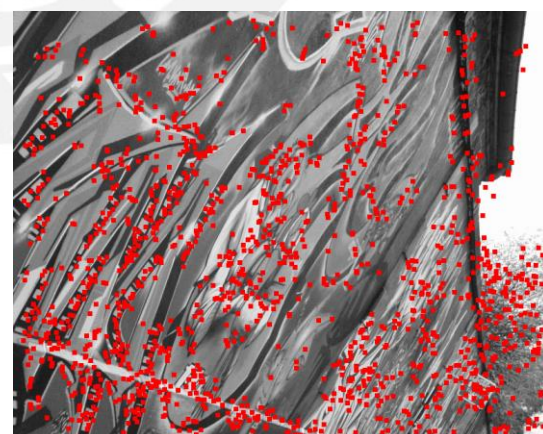
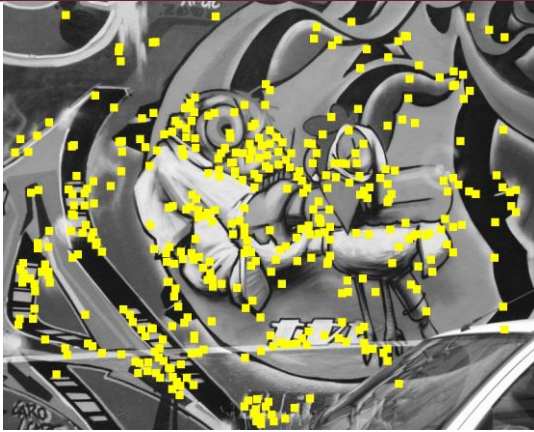
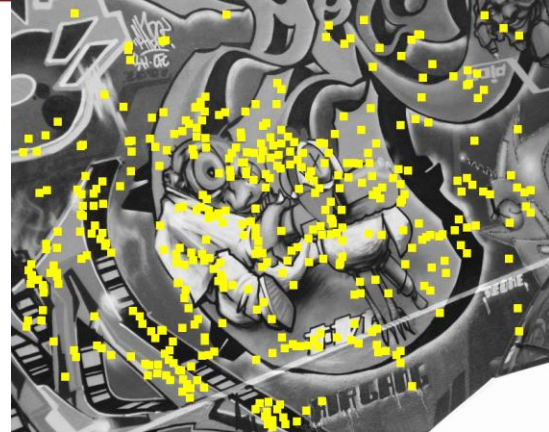


Imagen 6

Figura 13: Puntos de control seleccionados para el banco de imágenes con efectos de perspectiva. El efecto de perspectiva va creciendo desde la imagen 2 a la imagen 6. En la imagen 6 se puede ver el peor efecto de perspectiva con el que se trabaja.



(a)

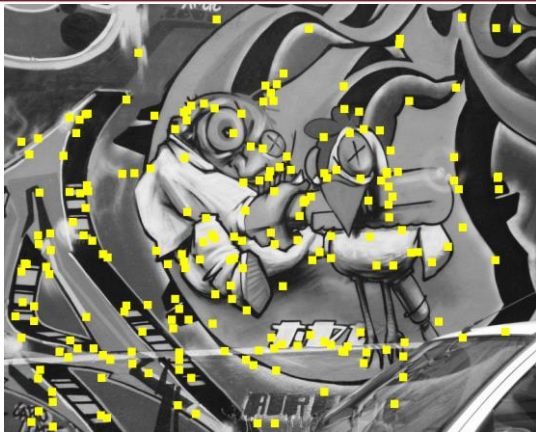


(b)



(c)

Figura 14: Mosaico generado a partir de imágenes 1 y 2. (a) Imagen 1 con puntos de correspondencia hallados. (b) Imagen 2 con puntos de correspondencia hallados. (c) Mosaico desarrollado.



(a)

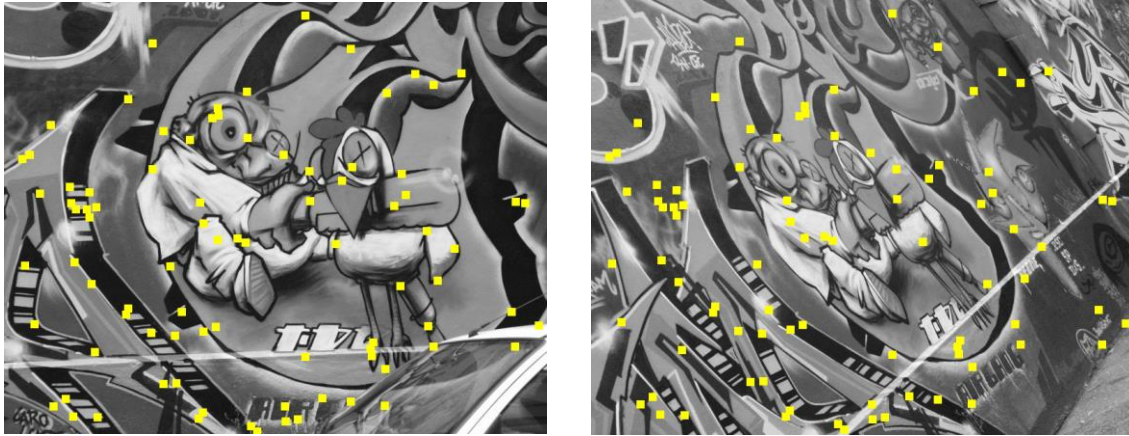


(b)



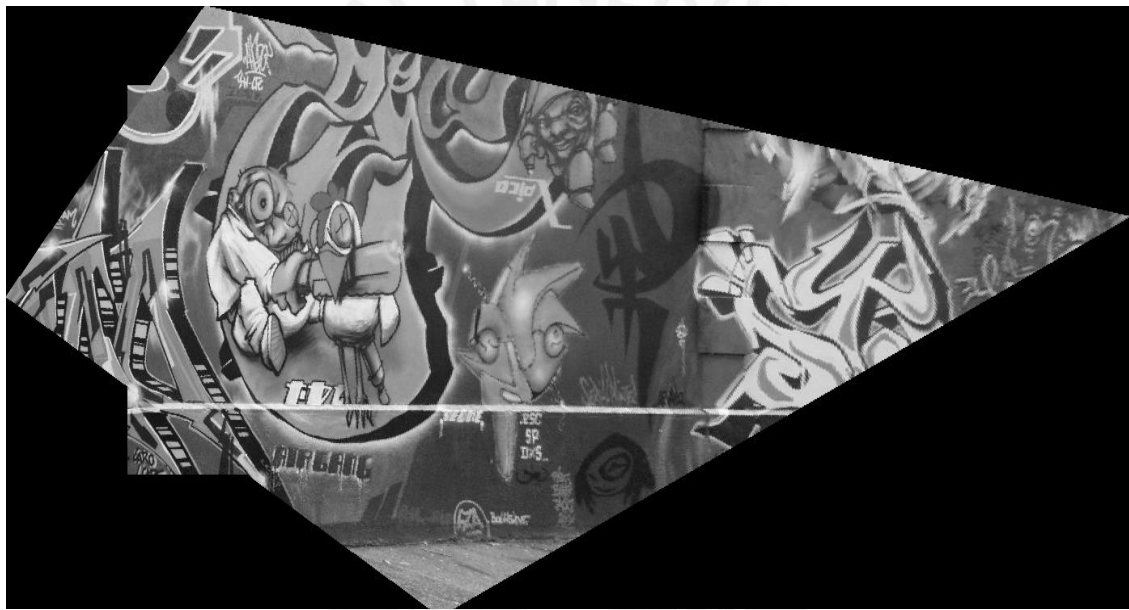
(c)

Figura 15: Mosaico generado a partir de imágenes 1 y 3. (a) Imagen 1 con puntos de correspondencia hallados. (b) Imagen 3 con puntos de correspondencia hallados. (c) Mosaico desarrollado.



(a)

(b)



(c)

Figura 16: Mosaico generado a partir de imágenes 1 y 4. (a) Imagen 1 con puntos de correspondencia hallados. (b) Imagen 4 con puntos de correspondencia hallados. (c) Mosaico desarrollado.

1.4 Cambios de iluminación



Imagen 1



Imagen 2



Imagen 3



Imagen 4



Imagen 5



Imagen 6

Figura 17: Puntos de control seleccionados para el banco de imágenes con efectos de iluminación. El efecto de iluminación va creciendo desde la imagen 2 a la imagen 6. En la imagen 6 se puede ver la imagen más oscura con la que se trabaja.



(a)



(b)



(c)

Figura 18: Mosaico generado a partir de imágenes 1 y 2. (a) Imagen 1 con puntos de correspondencia hallados. (b) Imagen 2 con puntos de correspondencia hallados. (c) Mosaico desarrollado.



(a)

(b)



(c)

Figura 19: Mosaico generado a partir de imágenes 1 y 3. (a) Imagen 1 con puntos de correspondencia hallados. (b) Imagen 3 con puntos de correspondencia hallados. (c) Mosaico desarrollado.



(a)



(b)



(c)

Figura 20: Mosaico generado a partir de imágenes 1 y 4. (a) Imagen 1 con puntos de correspondencia hallados. (b) Imagen 4 con puntos de correspondencia hallados. (c) Mosaico desarrollado.



(a)



(b)



(c)

Figura 21: Mosaico generado a partir de imágenes 1 y 5. (a) Imagen 1 con puntos de correspondencia hallados. (b) Imagen 5 con puntos de correspondencia hallados. (c) Mosaico desarrollado.



(a)



(b)



(c)

Figura 22: Mosaico generado a partir de imágenes 1 y 6. (a) Imagen 1 con puntos de correspondencia hallados. (b) Imagen 6 con puntos de correspondencia hallados. (c) Mosaico desarrollado.

Anexo 2: Resultados del banco de imágenes utilizando lenguaje C

2.1 Cambios de desenfoque

Tabla1: Diferencia entre los parámetros de la matriz hallada y la matriz real

| | I1-I2 | I1-I3 | I1-I4 | I1-I5 | I1-I6 |
|---|-------------|-------------|-------------|-------------|-------------|
| a | -0.013 E-01 | -0.038 E-01 | 6.740 E-04 | 0.048 E-01 | -0.027 E 01 |
| b | -0.020 E-01 | -0.017 E-01 | -9.941 E-04 | 0.077 E-01 | -0.036 E-01 |
| c | -0.878 E00 | -0.158 E01 | -0.286 E00 | -1.016 E00 | 9.147 E00 |
| d | 6.296 E-04 | 0.012 E-01 | -7.141 E-05 | 0.020 E-01 | -0.078 E-01 |
| e | -0.027 E-01 | -0.019 E-01 | -0.021 E-01 | 0.016 E-01 | 0.080 E -01 |
| f | 9.633 E-01 | 8.406 E-01 | -0.483 E00 | 3.810 E-01 | 3.230 E00 |
| g | -6.420 E-08 | -2.624 E-06 | -2.069 E-07 | -8.247 E-06 | -2.401 E-05 |
| h | -3.032 E-06 | -1.305 E-06 | 2.246 E-06 | 1.021 E-05 | 1.217 E-06 |

Tabla2: Información del funcionamiento del algoritmo ante cambios de enfoque

| | Descriptores | | Descriptor en común | % de Aciertos | Error promedio | Tiempo de procesamiento |
|-------|--------------|----------|---------------------|---------------|----------------|-------------------------|
| | Imagen 1 | Imagen 2 | | | | |
| I1-I2 | 1053 | 732 | 597 | 71.5 | 5.26 | 2.44 |
| I1-I3 | 1053 | 637 | 519 | 70.5 | 6.06 | 2.50 |
| I1-I4 | 1053 | 451 | 362 | 72.1 | 7.5 | 2.38 |
| I1-I5 | 1053 | 344 | 311 | 73.4 | 8.4 | 2.43 |
| I1-I6 | 1053 | 233 | 180 | 75.2 | 9.8 | 2.35 |

2.2 Cambios de escala y rotación

Tabla3: Diferencia entre los parámetros de la matriz hallada y la matriz real

| | I1-I2 | I1-I3 | I1-I4 | I1-I5 | I1-I6 |
|---|-------------|-------------|-------------|-------------|-------------|
| a | -3.016 E-04 | -0.036 E-01 | -2.440 E-04 | 0.075 E-01 | -0.071 E-01 |
| b | -0.015 E-01 | -0.102 E-01 | -0.146 E-01 | 0.014 E-01 | -1.83 E 00 |
| c | -0.473 E00 | 1.939 E00 | 2.225 E 00 | -0.314 E 01 | 562.7 E00 |
| d | -6.992 E-04 | 0.042 E-01 | 0.050 E-01 | 0.025 E-01 | -0.247 E00 |
| e | 1.975 E-04 | -0.097 E-01 | -0.024 E-01 | 0.158 E-01 | 0.323 E00 |
| f | 0.297 E00 | -1.077 E00 | -3.993 E00 | -0.231 E 01 | -327.3 E00 |
| g | -1.442 E-06 | -7.320 E-07 | 1.508 E-06 | 2.193 E-06 | 1.88 E-04 |
| h | 1.980 E-06 | 1.959 E-05 | -2.203 E-05 | 3.223 E-05 | -0.020 E-01 |

Tabla4: Información del funcionamiento del algoritmo ante cambios de escala y rotación

| | Descriptores | | Descriptor en común | % de Aciertos | Error promedio | Tiempo de procesamiento |
|-------|--------------|----------|---------------------|---------------|----------------|-------------------------|
| | Imagen 1 | Imagen 2 | | | | |
| I1-I2 | 2880 | 2860 | 941 | 70.7 | 14.2 | 4.04 |
| I1-I3 | 2880 | 2105 | 649 | 72.5 | 15.4 | 4.9 |
| I1-I4 | 2880 | 1390 | 479 | 65.8 | 23.88 | 5.45 |
| I1-I5 | 2880 | 1259 | 386 | 67.4 | 22.26 | 7.4 |
| I1-I6 | 2880 | 983 | 255 | - | - | - |

2.3 Cambios de perspectiva

Tabla5: Diferencia entre los parámetros de la matriz hallada y la matriz real

| 3 | I1-I2 | I1-I3 | I1-I4 | I1-I5 | I1-I6 |
|---|-------------|-------------|-------------|-------------|-------------|
| a | -0.011 E-01 | -0.077 E-01 | 0.152 E-01 | -0.836 E 00 | -0.456 E 00 |
| b | -0.021 E-01 | -7.419 E-04 | -0.251 E-01 | -0.636 E00 | 0.115 E 00 |
| c | 0.432 E 00 | 0.084 E 00 | 5.362 E 00 | 113.22 E00 | -230.5 E00 |
| d | 5.836 E-04 | -0.041 E-01 | 0.021 E00 | -0.322 E00 | -0.522 E00 |
| e | -0.045 E-01 | -0.075 E-01 | -0.420 E-01 | -1.205 E00 | -2.478 E00 |
| f | 0.271 E 00 | 1.396 E 00 | 5.991 E 00 | 112.25 E00 | 634.39 E00 |
| g | -8.186 E-07 | -1.505 E-05 | 7.655 E-05 | -9.762 E-04 | -6.569 E-04 |
| h | -5601 E-06 | -6.839 E-05 | -8.147 E-05 | -0.020 E-01 | -0.024 E-01 |

Tabla6: Información del funcionamiento del algoritmo ante cambios de perspectiva

| | Descriptores | | Descriptor en común | % de Aciertos | Error promedio | Tiempo de procesamiento |
|-------|--------------|----------|---------------------|---------------|----------------|-------------------------|
| | Imagen 1 | Imagen 2 | | | | |
| I1-I2 | 1531 | 1783 | 584 | 70.3 | 12.33 | 3.23 |
| I1-I3 | 1531 | 1847 | 275 | 75.06 | 18.8 | 3.8 |
| I1-I4 | 1531 | 1657 | 159 | 72.43 | 33.8 | 5.35 |
| I1-I5 | 1531 | 1910 | 136 | - | - | - |
| I1-I6 | 1531 | 1497 | 120 | - | - | - |

2.4 Cambios de iluminación

Tabla7: Diferencia entre los parámetros de la matriz hallada y la matriz real

| | I1-I2 | I1-I3 | I1-I4 | I1-I5 | I1-I6 |
|---|-------------|-------------|-------------|-------------|-------------|
| a | -4.216 E-01 | 0.425 E 00 | -4.231 E-01 | 1.580 E 00 | 0.418 E00 |
| b | -2.450 E-04 | 0.017 E-01 | 0.017 E-01 | 0.179 E-01 | 0.031 E-01 |
| c | -0.185 E 01 | 2.071 E00 | 3.393 E 00 | 0.550 E 00 | 0.871 E00 |
| d | -0.017 E-01 | -1.547 E-04 | -9.879 E-04 | -0.025 E-01 | 7.773 E-04 |
| e | -4.225 E-01 | 4.260 E-01 | -0.425 E 00 | 1.587 E00 | 0.421 E 00 |
| f | 0.131 E 01 | -1.829 E00 | -3.748 E00 | -12.05 E00 | -6.642 E00 |
| g | 1.043 E-06 | -1.933 E-06 | -3.430 E-06 | -4.131 E-06 | -2.736 E-07 |
| h | -2.800 E-06 | 3.725 E-06 | 6.823 E-06 | -2.358 E-05 | 6.558 E-06 |

Tabla8: Información del funcionamiento del algoritmo ante cambios de iluminación

| | Descriptores | | Descriptor en común | % de Aciertos | Error promedio | Tiempo de procesamiento |
|-------|--------------|----------|------------------------|------------------|-------------------|----------------------------|
| | Imagen 1 | Imagen 2 | | | | |
| I1-I2 | 1146 | 833 | 594 | 47.1 | 29.78 | 2.1 |
| I1-I3 | 1146 | 692 | 476 | 47.9 | 41.83 | 2.04 |
| I1-I4 | 1146 | 572 | 397 | 50.9 | 51.42 | 2.06 |
| I1-I5 | 1146 | 457 | 301 | 53.1 | 59.73 | 1.95 |
| I1-I6 | 1146 | 363 | 227 | 55.4 | 66.06 | 2.02 |

Anexo 3: Programa en Matlab

3.1 Programa Principal

```

%% Orto rectificación y mosaico de imágenes
%
% Corrige la distorsión de las imágenes generado por el
% movimiento del UAV.
% Relaciona múltiples imágenes que tengan un espacio en común.
% Se siguen los siguientes pasos:
% - Obtención de puntos de control a partir de características
% invariantes en las imágenes.
% - Extracción de descriptores mediante el algoritmo SURF
% -Correspondencia de dichos descriptores mediante el algoritmo
% NNDR
% - Estimación de la función de transformación: RANSAC.
% - Se construye el mosaico a partir de la función de
% transformación y se repite el proceso, dependiendo del modo
% el proceso puede realizarse utilizando de referencia el
% mosaico o la imagen anterior.
%
% El programa necesita 3 variables de entrada, las cuales se
% especifican a continuación:
% Ruta del directorio donde se encuentran las imágenes para
% realizar el registro.
% Ruta del directorio donde se quiere guardar el mosaico final.
% nombre del archivo de texto donde se encuentran los ángulos de
% yaw, pitch y roll.
% modo del registro es un dato opcional usado para pruebas.
% modo = 1 significa registro con respecto a la imagen anterior
% como referencia.
% modo = 2 significa registro con respecto al mosaico total como
% referencia.

close all
clear all

% Nombre del directorio donde se ubica la carpeta con las
% imágenes

directorio='./tesis/vuelo_pruebas2/';
% Modo de ejecución del algoritmo
mode=1;
%tipo de imagen (.bmp o .png)
data_type='.bmp';

% Lectura del archivo de texto con los ángulos y la hora a la
% que fueron tomados

[archivo,ruta]=uigetfile('*.txt','ABRIR ARCHIVO con angulos');
fid =fopen([ruta archivo],'r');
A=textscan(fid,'%s %10s %s \n %s %f %s %f %c %c %f %s %s %s %s %s %s %s %s','headerlines',2);
A{1,1} = A{1,1}(1:end-3,1);
A{1,2} = A{1,2}(1:end-3,1);

```



```
[M,N]=size(A{1,1});
Angulo = zeros([M 3]);
hora_angulo = cellstr(A{1,2});
Angulo(:,1)=A{1,10}(1:M,1); % yaw
Angulo(:,2)=A{1,7}(1:M,1); % pitch
Angulo(:,3)=A{1,5}(1:M,1); % roll
fclose(fid);
```

```
% Lectura del archivo de texto con la hora a la que fueron  
% tomados las imágenes.
```

```
[archivo,ruta]=uigetfile('*.txt','ABRIR ARCHIVO con imagenes');
fid =fopen([ruta archivo],'r');
A=textscan(fid,'%5s.%s %s %10s %s\n' , 'headerlines',1);
nombre_imagen = cellstr(A{1,1});
hora_imagen = cellstr(A{1,4});
fclose(fid);
```

```
% Lectura de las imágenes y el almacenamiento de las mismas para  
% su posterior análisis
```

```
lee_archivos = dir(strcat(directorio,'*',data_type)); %el
formato de imagen puede ser
modificado.I=cell(1,length(lee_archivos));
name=cell(1,length(lee_archivos));
I=cell(1,length(lee_archivos));

Ang = zeros([length(lee_archivos) 3]);

for k = 1:length(lee_archivos) %recorre n?mero de archivos
guardados en el directorio
archivo = lee_archivos(k).name; %Obtiene el nombre de los
archivos
I{1,k} = imread(strcat(directorio,archivo));% lee la primera
imagen
C = strsplit(archivo,'. ');
name=C{1,1};
```

```
% Referencia de las imágenes con la hora para obtener el ángulo  
% al que fue tomada cada imagen.
```

```
idx = strfind(nombre_imagen, name);
[M,N]=size(idx);
for i=1:1:M
    if (idx{i,1}==1)
        indice=i;
    end
end
hora = hora_imagen{indice,1};

idx = strfind(hora_angulo, hora);

[M,N]=size(idx);
```

```

for i=1:1:M
    if (idx{i,1}==1)
        indice=i;
    end
end

    Ang(k,:)=Angulo(indice,:);
end

figure; plot(Ang); % visualización de los ángulos

Ang(:,1)=Ang(:,1)-Ang(1,1);

% Iniciar variables

    error_cuad_prom=zeros(1,k-1);
    error_prom=zeros(1,k-1);
    good_pixel_perc=zeros(1,k-1);

% Tomar de la primera imagen como referencia

    [~,~,ColorChannel] = size(I{1,1});

% Transformación de la imagen a escala de grises

    if ColorChannel > 1
        img = rgb2gray(I{1,1});
    else
        img=I{1,1};
    end

% Corrección de la primera imagen

    yaw    = -Ang(1,1);
    pitch  = Ang(1,2);
    roll   = Ang(1,3);

    img=imcorrect(img,yaw,roll,pitch);

% La referencia inicial siempre será la primera imagen
% independiente del modo.
% la primera imagen siempre será el inicio del mosaico también

    imref = img;
    mosaico=img;

%% Armado del mosaico a partir de la segunda imagen

for k = 2:length(lee_archivos)

% Transformación de imágenes a escala de grises

    [~,~,ColorChannel] = size(I{1,k});

```



```

    if ColorChannel > 1
        img = rgb2gray(I{1,k});
    else
        img=I{1,k};
    end

% Asignación de ángulos

    yaw    =   -Ang(k,1);
    roll   =    Ang(k,3);
    pitch  =    Ang(k,2);

% Corrección de la imagen con usando los ángulos obtenidos en el
% vuelo.

    img = imcorrect(img,yaw,roll,pitch);

    if mode==1

% Se limita la imagen al área de interés pero se almacenan las
% coordenadas originales para realizar la traslación de los
% puntos a su ubicación original.

    [row,col] = find(imref>0);
    a = min(col(:));
    b = min(row(:));
    c = max(col(:));
    d = max(row(:));

    st=imcrop(imref, [a b c-a d-b]);

% Detección de puntos de control y extracción de descriptores

    points01 = detectSURFFeatures(st,'MetricThreshold',1000);
    [features01, valid_points01]= extractFeatures(st,points01);
    [M, N]=size(valid_points01.Location);
    Traslacion=ones([M N]);
    cp01 = zeros([M N]);
    cp01(:,1)= valid_points01.Location(:,1)+ Traslacion(:,1)*(a-1);
    cp01(:,2)= valid_points01.Location(:,2)+ Traslacion(:,2)*(b-1);

    else

% Detección de puntos de control y extracción de descriptores

    points01 = detectSURFFeatures(imref,'MetricThreshold',1000);
    [features01, valid_points01] = extractFeatures(imref, points01);
    cp01=double(valid_points01.Location);

    end

% Detección de puntos de control y extracción de descriptores

    points = detectSURFFeatures(img,'MetricThreshold',1000);
    [features02, valid_points02] = extractFeatures(img, points);
    cp02=double(valid_points02.Location);
  
```

```
% Correspondencia entre los descriptores encontrados NNDR=0.8
```

```
[indexPairs,distancia]= ndr(features01, features02,0.8);
matchedPoints1 = cp01(indexPairs(:, 1), :);
matchedPoints2 = cp02(indexPairs(:, 2), :);
```

```
% Estimación de la función de transformación
```

```
[tform,inlierPtsOut,inlierPtsIn] =
estimateGeometricTransform(matchedPoints1,matchedPoints2,..
'projective');
bestHomography=tform.T';
```

```
% Generación del mosaico, el error en cada pixel de la imagen y
% generación de la imagen transformada.
```

```
[mosaico,imtransf,error_pixel] = stitch(mosaico,img,..
bestHomography);
```

```
% Analisis de error
```

```
error_promedio=norm(error_pixel,1)/size(error_pixel,2);
error_prom(1,k-1)=error_promedio;
good_pixel_perc(1,k-1)=size(find(error_pixel<=error_promedio)...
,2)/size(error_pixel,2);
```

```
% Asignación de la referencia
```

```
if mode == 1
    imref = imtransf;
else
    imref = mosaico;
end
```

```
end
```

```
%Mostrar resultado final
```

```
figure; imshow(uint8(mosaico))
```


3.2 Correspondencia de puntos de control

```

% Nearest Neighbor Distance Ratio (NNDR)
%
% Análisis de correspondencia entre descriptores a partir de
% distancias euclidianas entre los 64 componentes del
% descriptor. Se define que existe la correspondencia si es que
% la relación entre la menor distancia del conjunto y la segunda
% distancia más cercana está por debajo de un valor umbral.
%
% Parámetros de entrada:
%
% desc_a: Descriptores de la imagen de referencia
% desc_b: Descriptores de la imagen de muestra
% dist_ratio: Valor umbral
%
% Parámetros de salida:
%
% indexPairs: índice donde se ubican los puntos de control con
% correspondencia
% distancia: Relación de distancias entre pares de
correspondencia
%-----
-----

function [indexPairs, distancia] = nndr(desc_a,
desc_b,dist_ratio)

% correspondencias muestra/referencia
nn= zeros(size(desc_b,1),1);

% se almacena distancia del punto correspondiente
dist= nn;

for k= 1:size(desc_b,1)

% distancia euclidiana entre el primer descriptor de una imagen
% con respecto a los demás de la otra imagen.

eucl= sqrt(sum((desc_a-
repmat(desc_b(k,:),size(desc_a,1),1)).^2,2));

[d01, idx]= min(eucl); % distancia con el vecino más cercano
eucl(idx)= max(eucl); % se descarta el menor valor para hallar
% el segundo más cercano.

d02= min(eucl); % distancia con el 2do más cercano
if d01/d02 < dist_ratio
nn(k)= idx; % se asigna la ubicación donde se encontró la
% menor distancia.

dist(k)= d01; % relación de distancias
end
end

```

```

ipts= find(nn~=0); % desc. sin correspondencia: nn= 0
indexPairs=[nn(ipts),ipts];
distancia = dist(ipts); % relación de distancias

% eliminando posible duplicidad de puntos de correspondencia

    [m, n]=size(indexPairs)

%arreglando una columna(borrando duplicado de puntos)

    [c,ia,ic]=unique(indexPairs(:,2),'stable');
    index = indexPairs(ia,:);
    dist = distancia;
    ind_repetidos = setdiff(1:m, ia);
    valores_repetidos = indexPairs(ind_repetidos,2);
    valores_repetidos = unique(valores_repetidos);
    [x,y]=size(valores_repetidos);
    for i=1:1:x
        ind=find(index(:,2)~=valores_repetidos(i));
        index=index(ind,:);
        dist = dist(ind);
    end
    indexPairs=index;
    distancia=dist;
    [m, n]= size(indexPairs);

%arreglando la otra columna (borrando duplicado de puntos)

    [c,ia,ic]=unique(indexPairs(:,1),'stable');
    index = indexPairs(ia,:);
    dist = distancia;
    ind_repetidos = setdiff(1:m, ia);
    valores_repetidos = indexPairs(ind_repetidos,1);
    valores_repetidos = unique(valores_repetidos);
    [x,y]=size(valores_repetidos);
    for i=1:1:x
        ind=find(index(:,1)~=valores_repetidos(i));
        index=index(ind,:);
        dist = dist(ind);
    end
    indexPairs=index;
    distancia=dist;

end

```


3.3 Transformación de imagen

```

%Función que se encarga de la generación del mosaico a partir de
% la función de homografía. Además también devuelve la imagen
% transformada sin la generación del mosaico y la diferencia de
% intensidades de los pixeles superpuestos como medida de error.
% Entradas: im1= imagen referencia
%           im2= imagen superpuesta
%           homography= matriz de transformacion(3*3 projective)
% Salidas:  stitchedImage= mosaico (uint8)
%           imref = imagen superpuesta transformada (uint8)
%           diffpixel= vector que almacena la diferencia de
%                   intensidades de los pixeles superpuestos.

function [stitchedImage, imref, diffpixel]= stitch( im1, im2,...
homography)

stitchedImage = im1;

stitchedImage = padarray(stitchedImage,4*size(im2));

% Permite armar un mosaico de hasta el cuádruple del tamaño de
% la imagen a superponer

commompixel=1;
[M, N]=size(stitchedImage);
diffpixel=zeros(1,M*N);
imref=zeros(size(stitchedImage));

% Hallando vértices de la imagen para usarlos como referencia
% es una aproximación para reducir el número de iteraciones

vert_y=[0 size(im2,2)];
vert_x=[0 size(im2,1)];
puntos_i=zeros([1 4]);
puntos_j=zeros([1 4]);
h=homography;

for a=1:2
    for b=1:2

num1=h(1,1)*4*(size(im2, 2))+ h(1,2)*4*(size(im2, 1))-h(1,3)-...
vert_y(b)*h(3,1)*4*(size(im2, 2))-vert_y(b)*h(3,2)*...
(4*size(im2, 1))+h(3,3)*vert_y(b);

num2=h(2,1)*4*(size(im2, 2))+ h(2,2)*4*(size(im2, 1))-h(2,3)-...
vert_x(a)*h(3,1)*4*(size(im2, 2))-vert_x(a)*h(3,2)*...
(4*size(im2, 1))+h(3,3)*vert_x(a);

coef_1 = h(1,1)-vert_y(b)*h(3,1);
coef_2 = h(1,2)-vert_y(b)*h(3,2);
coef_3 = h(2,1)-vert_x(a)*h(3,1);
coef_4 = h(2,2)-vert_x(a)*h(3,2);

j = (coef_1*num2-coef_3*num1)/(coef_1*coef_4-coef_3*coef_2);
i = (num1-coef_2*j)/coef_1;

```

```

puntos_i(2*(a-1)+b)=i;
puntos_j(2*(a-1)+b)=j;
    end
end

% índices sobre los cuales iterar. La imagen transformada debe
% encontrarse entre esas coordenadas.

index_i_ini=floor(min(puntos_i));
index_j_ini=floor(min(puntos_j));
index_i_fin=round(max(puntos_i));
index_j_fin=round(max(puntos_j));

for i = index_i_ini:1:index_i_fin+1
    for j = index_j_ini:1:index_j_fin+1

        %resolución de la matriz de transformación

        p2 = homography * [i-4*size(im2, 2); j-4*size(im2, 1); 1];
        p2 = p2 / p2(3);

        x2 = round(p2(1));
        y2 = round(p2(2));

        if x2>0 && x2<= size(im2, 2) && y2>0 && y2 <= size(im2, 1)

            imref(j,i)=im2(y2,x2); % asignación de la imagen transformada

            valor_ini = stitchedImage(j, i);
            valor_next = imref(j, i);

            if valor_next==0 % si el punto a superponer es negro %
                % (superficie negra) se salta y se
                % deja el que esta abajo(mosaico)

                stitchedImage(j, i) = valor_ini;

            else
                stitchedImage(j,i)= valor_next;
            end

            if valor_ini> 0 && valor_next>0 % si ambos valores son mayores
                % que cero se asume traslape.

            diffpixel(1,commompixel) = abs(double(valor_ini)-...
            double(stitchedImage(j,i)));
            commompixel=commompixel+1;
        end
    end
end

```

```

end

end

end

diffpixel=diffpixel(1,1:commompixel-1);

%Limitar mosaico e imref al mismo tamaño. se limita a las mismas
%dimensiones para conservar los puntos de traslación en la
%imagen transformada.

[row,col] = find(stitchedImage>0);
a = min(col(:));
b = min(row(:));
c = max(col(:));
d = max(row(:));

st=imcrop(stitchedImage, [a b c-a d-b]);
st2=imcrop(imref, [a b c-a d-b]);

stitchedImage = st;
imref = uint8(st2);

end

```

3.4 Corrección de imágenes

```

% Adaptación de la implementación del algoritmo de rectificación geométrica diseñado
% y desarrollado por: Roberto Tupac Yupanqui Fernandez
% Datos de entrada: Imagen a rectificar (img) y ángulos de rotación de
% la cámara (yaw, pitch,roll)
%
% Datos de salida: Imagen geoméricamente rectificada (img_correct)
%
%%%%%%%%%%%%%%%%%%%%%%%%%%%%%%%%%%%%%%%%%%%%%%%%%%%%%%%%%%%%%%%%%%%%%%%%
function img_correct = imcorrect(img,yaw,roll,pitch)

% Dimensiones de la imagen fuente

width=size(img,2);
length=size(img,1);
%puntos de la imagen sin transformar
C=[ 0 0;width 0;width length;0 length ];
D=[ 0 0;0 0;0 0;0 0];

% Definición de parámetros con respecto a los ejes

% Distancia aeroplano a la superficie
f=1333.333;
%Angulo del plano imaginario respecto a la superficie
ang=deg2rad(pitch);

```



```

%Hallando los puntos de la imagen transformada
%Realizando las proyecciones de los 4 puntos de la imagen
%Angulo eje Y
angy=deg2rad(roll);
%distancia del plano proyectado imaginario a la superficie
%en eje ZY
z=((width)/2)*sin(ang);
%distancia del plano proyectado imaginario a la superficie
%en eje ZX
z1=((length)/2)*sin(angy);
%angulo del vertice (1,1) cuando angy=0 en el plano Z-Y
angulo=atan(z/(length/2));
%angulo del vertice (1,1) cuando angy=0 en el plano Z-X
anguloy=atan(z1/(width/2));
%longitud del vertice(1,1) del rectangulo al punto central visto
desde el plano
%Z-Y
if ang==0
l=length/2;
angulo=0;
else
l=sqrt(z^2 +(length/2)^2 );
end
%longitud del vertice(1,1) del rectangulo al punto central visto
desde el plano
%Z-X
if angy==0
la=width/2;
else
la=sqrt(z1^2 +(width/2)^2 );
end
%longitud proyectada paralela al plano
%lon=((width)/2)*cos(ang);
tetal= atan((l*cos(angy+angulo))/(f-l*sin(angy+angulo)));
D(1,1)= tan(tetal)*f;
tetal= atan((-1)*l*cos(pi-angulo+angy)/(f-l*sin(pi-
angulo+angy)));
D(4,2)= tan(tetal)*f;
D(4,2)= (length/2) + D(4,2);%sin(pi-angulo+angy)
D(1,2)=(length/2)-D(1,1);
teta2= atan((l*cos(angy-angulo))/(f-l*sin(angy-angulo)));
D(2,2)= (f)*tan(teta2);
teta2a= atan((-1)*cos(pi+angulo+angy)/(f-
l*sin(pi+angulo+angy)));
D(3,2)=(length/2) + (f)*tan(teta2a);
D(2,2)=(length/2)-D(2,2);
teta3= atan((la*cos(ang+anguloy))/(f-la*sin(ang+anguloy)));
D(1,1)=(width/2)-f*tan(teta3);
%-----
%
%procedimiento para hallar la coordenada x en el punto 1
%primero en el plano ZY obtenemos los lados del triangulo
lc1=l*sin(angy+angulo)-(length/2)*sin(angy);
lc2=abs(l*cos(angy+angulo))-abs((length/2)*cos(angy));
lc3=sqrt(lc1^2 +lc2^2);
%%%%%%%%%%

```

```

%formas otro triangulo
lc4=sqrt((width/2)^2 -lc3^2);
%%%%%%%%%%%%%%%%%%%%%%%%%%%%%%%%%%%%%%%%%%%%%%%%%%%%%%%%%%%%%%%%%%%%%%%%
%por ultimo formamos un triangulo en el plano XY
% hacemos la proyeccion al final en el plano XZ
tet11= atan((lc4)/(f-l*sin(angy+angulo)));
D(1,1)=(width/2)-f*tan(tet11);
%%%%%%%%%%%%%%%%%%%%%%%%%%%%%%%%%%%%%%%%%%%%%%%%%%%%%%%%%%%%%%%%%%%%%%%%
%-----
%
%procedimiento para hallar la coordenada x en el punto 4
%primero en el plano ZY obtenemos los lados del triangulo
lb1=l*sin(pi-angulo+angy)-(length/2)*sin(pi+angy);
lb2=abs(l*cos(pi-angulo+angy))-abs((length/2)*cos(pi+angy));
lb3=sqrt(lb1^2 +lb2^2);
%%%%%%%%%%%%%%%%%%%%%%%%%%%%%%%%%%%%%%%%%%%%%%%%%%%%%%%%%%%%%%%%%%%%%%%%
%formas otro triangulo
lb4=sqrt((width/2)^2 -lb3^2);
%%%%%%%%%%%%%%%%%%%%%%%%%%%%%%%%%%%%%%%%%%%%%%%%%%%%%%%%%%%%%%%%%%%%%%%%
%por ultimo formamos un triangulo en el plano XY
% hacemos la proyeccion al final en el plano XZ
tet4aa= atan((lb4)/(f-l*sin(pi-angulo+angy)));
D(4,1)=(width/2)-f*tan(tet4aa);
%%%%%%%%%%%%%%%%%%%%%%%%%%%%%%%%%%%%%%%%%%%%%%%%%%%%%%%%%%%%%%%%%%%%%%%%
%-----
%
%procedimiento para hallar la coordenada x en el punto 2
%primero en el plano ZY obtenemos los lados del triangulo
la1=z1-l*sin(angy-angulo);
la2=l*cos(angy-angulo)-(length/2)*cos(angy);
la3=sqrt(la1^2 +la2^2);
%%%%%%%%%%%%%%%%%%%%%%%%%%%%%%%%%%%%%%%%%%%%%%%%%%%%%%%%%%%%%%%%%%%%%%%%
%formas otro triangulo
la4=sqrt((width/2)^2 -la3^2);
%%%%%%%%%%%%%%%%%%%%%%%%%%%%%%%%%%%%%%%%%%%%%%%%%%%%%%%%%%%%%%%%%%%%%%%%
%por ultimo formamos un triangulo en el plano XY
% hacemos la proyeccion al final en el plano XZ
tet4= atan((la4)/(f-l*sin(angy-angulo)));
D(2,1)=(width/2)+f*tan(tet4);

%%%%%%%%%%%%%%%%%%%%%%%%%%%%%%%%%%%%%%%%%%%%%%%%%%%%%%%%%%%%%%%%%%%%%%%%
%-----
%
%procedimiento para hallar la coordenada x en el punto 3
%primero en el plano ZY obtenemos los lados del triangulo
l1= l*sin(angulo+angy)-z1;
l2=(length/2)*cos(angy)-l*cos(angulo+angy);
l3=sqrt(l1^2 +l2^2);
%%%%%%%%%%%%%%%%%%%%%%%%%%%%%%%%%%%%%%%%%%%%%%%%%%%%%%%%%%%%%%%%%%%%%%%%
%formas otro triangulo
l4=sqrt((width/2)^2 -l3^2);
%%%%%%%%%%%%%%%%%%%%%%%%%%%%%%%%%%%%%%%%%%%%%%%%%%%%%%%%%%%%%%%%%%%%%%%%
%por ultimo formamos un triangulo en el plano XY
% hacemos la proyeccion al final en el plano XZ
tet31= atan((l4)/(f-l*sin(pi+angulo+angy)));
D(3,1)=(width/2)+f*tan(tet31);

```

```

%%%%%%%%%%%%%%%%%%%%%%%%%%%%%%%%%%%%%%%%%%%%%%%%%%%%%%%%%%%%%%%%%%%%%%%%
T = maketform('projective',D,C);

J = imtransform(img,T,'nearest',...
'XData', [1 (size(img,2)+0)],...
'YData', [1 (size(img,1)+0)],...
'FillValues', 0);

%%%%%%%%%%%%%%%%%%%%%%%%%%%%%%%%%%%%%%%%%%%%%%%%%%%%%%%%%%%%%%%%%%%%%%%%5
%Rotacion
% Rotation: jaw
img_correct=imrotate(J,yaw);
[row,col] = find(img_correct>0);
a = min(col(:));
b = min(row(:));
c = max(col(:));
d = max(row(:));
img_correct=imcrop(img_correct, [a b c-a d-b]);

end

```



Anexo 4: Programa en C

```

// Relaciona multiples imágenes con una área en común.
// El parámetro de entrada es la carpeta donde se ubican las
// las imágenes que generarían el mosaico. No se logró realizar
// la corrección geométrica conjuntamente con la generación de
// mosaico. El modo por defecto es el de usar la imagen anterior
// como referencia

#include <stdio.h>
#include <stdlib.h>
#include <iostream>
#include <string>
#include <opencv2/opencv.hpp>
#include <opencv2/nonfree/nonfree.hpp>
#include <opencv2/legacy/legacy.hpp>
#include <opencv2/nonfree/features2d.hpp>
#include <opencv2/features2d/features2d.hpp>
#include <dirent.h>

using namespace cv;
using std::cout;
using std::string;

// Función que realizará la unión de las imágenes devuelve
// también el error promedio por pixel.

void stitch(Mat& img1, Mat& img2, const Mat& Homography, Mat&...
StitchedImage , Mat& Imref)

{

// se define un tamaño mayor al original (5 veces más grande)
// para ubicar la el mosaico generado.

Size s=img2.size();
double row2=s.height;
double col2=s.width;
int top=round(row2*5);
int bot=round(row2*5);
int left=round(col2*5);
int right=round(col2*5);

copyMakeBorder(img1, StitchedImage, top, bot, left, right, ...
BORDER_CONSTANT, Scalar(0));

s=StitchedImage.size();
int row=s.height;
int col=s.width;

Imref = Mat::zeros(row,col,CV_8U);

double num_pixel=0;
int jmin=row2*5;

```

```

int imin=col2*5;
    int jmax=row-row2*5;
    int imax=col-col2*5;
    double error;
    double suma_error=0;
    double promedio;

// Este procedimiento es una estimación para obtener los
// vértices de la imagen transformada para evitar repeticiones
// innecesarias.

Mat vert_y = (Mat_<double>(2,1) << -5, col2+5);
Mat vert_x = (Mat_<double>(2,1) << -5, row2+5);
Mat puntos_i = (Mat_<double>(4,1) << 0,0,0,0);
Mat puntos_j = (Mat_<double>(4,1) << 0,0,0,0);

Mat h=Homography;

for (double a = 0; a < 2; a++ )
{
    for (double b = 0; b < 2; b++ )
    {
        double num1 = h.at<double>(0,0)*col2*5+...
h.at<double>(0,1)*row2*5 - h.at<double>(0,2) -...
vert_y.at<double>(b,0)*h.at<double>(2,0)*col2*5 -...
vert_y.at<double>(b,0)*h.at<double>(2,1)*row2*5 +...
h.at<double>(2,2)*vert_y.at<double>(b,0);

        double num2 = h.at<double>(1,0)*col2*5 +...
h.at<double>(1,1)*row2*5 - h.at<double>(1,2)-...
vert_x.at<double>(a,0)*h.at<double>(2,0)*col2*5 -...
vert_x.at<double>(a,0)*h.at<double>(2,1)*row2*5 +...
h.at<double>(2,2)*vert_x.at<double>(a,0);

        double coef_1 = h.at<double>(0,0)-...
vert_y.at<double>(b,0)*h.at<double>(2,0);
        double coef_2 = h.at<double>(0,1)-...
vert_y.at<double>(b,0)*h.at<double>(2,1);
        double coef_3 = h.at<double>(1,0)-...
vert_x.at<double>(a,0)*h.at<double>(2,0);
        double coef_4 = h.at<double>(1,1)-...
vert_x.at<double>(a,0)*h.at<double>(2,1);

        double j = round((coef_1*num2-coef_3*num1)/(coef_1*coef_4-...
coef_3*coef_2));
        double i = round((num1-coef_2*j)/coef_1);
        puntos_i.at<double>(2*(a)+b,0)=i;
        puntos_j.at<double>(2*(a)+b,0)=j;
    }
}

    double index_y_ini, index_y_max;
    cv::minMaxLoc(puntos_i, &index_y_ini, &index_y_max);
    double index_x_ini, index_x_max;
    cv::minMaxLoc(puntos_j, &index_x_ini, &index_x_max);

```

```

for (double i = index_y_ini; i <= index_y_max; i++ )
{
  for (double j = index_x_ini; j <= index_x_max; j++ )
  {
// %resolución de la matriz de transformación

Mat p = (Mat_<double>(3,1) <<i-round(col2*5),j-round(row2*5),1);
  Mat q=Homography*p;
  q=q/q.at<double>(2,0);

  double xt= round(q.at<double>(0,0));
  double yt= round(q.at<double>(1,0));

  if (xt>=0 && xt < col2 && yt>=0 && yt<row2)
  {

    Imref.at<uchar>(j,i)=img2.at<uchar>(yt,xt);
    double valor_ini = StitchedImage.at<uchar>(j,i);
    double valor_next = Imref.at<uchar>(j,i);

    if (valor_next == 0) //si lo que se superpone es negro no
      // interesa

    {StitchedImage.at<uchar>(j,i) = valor_ini;}
    else
    {StitchedImage.at<uchar>(j,i) = valor_next;}

    if (valor_ini> 0 && valor_next>0 )
    {
      num_pixel=num_pixel+1; // si hay "color" en ambas imágenes
      // están superpuestas

error = double (abs(StitchedImage.at<uchar>(j,i)-valor_ini));
      suma_error = suma_error+error;

// Permite obtener las coordenadas que ocupa la imagen
      if (StitchedImage.at<uchar>(j,i)>0 )
      {
        if (i<imin)
        { imin=i; }

        if (j<jmin) //define el inicio de la imagen cuando la
          // imagen referencia este superior

        { jmin=j; }

        if (j>jmax) //define el fin de la imagen
        {jmax=j;}

        if (i>imax)
        {imax=i;}
      }
    }
  }
}

```



```

//Limitación de la imagen (mosaico y la nueva referencia)

    Rect myROI(imin,jmin,imax-imin,jmax-jmin);
    StitchedImage=StitchedImage(myROI);
    Imref=Imref(myROI);
    promedio = suma_error/num_pixel;
    printf("-- Num_pixeles_totales");

printf("Num_pixeles_totales=%f;\n promedio_error = %f\n ",...
num_pixel, ,promedio);
    }

int main( )
{
    clock_t startC, finishC;

    startC = clock();

cv::initModule_nonfree(); // declaración necesaria para
// habilitar el surf detector

// Inicializar directorio de donde se leerán las imágenes

char imageDirectory[] = "Images/vuelo3/00000";
char fullImagePath[1000];
Mat image_array[1000];
char data_type[] = ".bmp";
int total_img=200; //total de imagenes

// Lectura de las imágenes que tendrán el formato 00001.bmp; es
// el número de la imagen acompañada de ceros al inicio.

for (int i=0;i<=total_img;i++)
{
    if (i<10)
    {
        image_array[i-25]=imread(fullImagePath,...
CV_LOAD_IMAGE_GRAYSCALE);
    }
    if (i>9 && i<100)
    {
        char imageDirectory[] = "Images/vuelo3/000";
        image_array[i-25]=imread(fullImagePath,...
CV_LOAD_IMAGE_GRAYSCALE);
    }
    if(i>100 && i <1000)
    {
        char imageDirectory[] = "Images/vuelo3/00";
        image_array[i-25]=imread(fullImagePath,...
CV_LOAD_IMAGE_GRAYSCALE);
    }
}
}

```

```

//Armado del mosaico

Mat mosaico = image_array[0]; //La primera imagen es la
                               //referencia de todo el mosaico.
Mat imref = image_array[0];

for (int k=1;k<total_img;k++)
{
    Mat new_image = image_array[k];

    if(imref.empty() || new_image.empty())
    {
        printf("No se puede leer alguna imagen\n");
        continue;
    }

// Detección de puntos de control.

SurfFeatureDetector detector(1000);
std::vector<KeyPoint> keypoints_reference, keypoints_moving;
detector.detect(imref, keypoints_reference);
detector.detect(new_image, keypoints_moving);

// Extraccion de descriptores

SurfDescriptorExtractor extractor;
Mat descriptors1, descriptors2;
extractor.compute(imref, keypoints_reference, descriptors1);
extractor.compute(new_image, keypoints_moving, descriptors2);

// Analisis de correspondencia NNDR = 0.8

FlannBasedMatcher matcher;
double ratio = 0.8;
std::vector< vector<DMatch > > nnMatches;
std::vector< DMatch > good_matches;
matcher.knnMatch(descriptors1, descriptors2, nnMatches, 2 );

for(int k = 0; k < nnMatches.size(); k++)
{
    if(nnMatches[k][0].distance / nnMatches[k][1].distance < ratio)
    {
        good_matches.push_back(nnMatches[k][0]);
    }
}

if (good_matches.size()<5)
{ printf("No hay relacion entre las imagenes\n");
  continue;
}

// Asignacion de los puntos correspondientes hallados. Obj=
//puntos en referencia, scene =puntos en imagen a superponer.

std::vector< Point2f > obj;
std::vector< Point2f > scene;

```

```
for( int i = 0; i < good_matches.size(); i++ )
{

obj.push_back( keypoints_reference[ good_matches[i].queryIdx...
].pt);
scene.push_back( keypoints_moving[ good_matches[i].trainIdx...
].pt);
}

// Estimacion de la funcion de transformacion

Mat bestHomography = findHomography( obj, scene, CV_RANSAC );

// Transformación de la imagen y generación del mosaico.

Mat StitchedImage;
Mat im_ref;

stitch(mosaico,new_image,bestHomography,StitchedImage,im_ref);
imref=im_ref;
}

// Mostrar resultados tiempo y mosaico generado.

namedWindow("mosaico", 1);
imshow("mosaico", mosaico);
finishC = clock();

cout << "Time (clock): " << (finishC - ...
startC)*1.0/CLOCKS_PER_SEC << std::endl;
waitKey(0);
return 0;
}
```